NO TICE

AT LEAST ONE OF THE EDGES OF THIS

MAGAZINE HAS BEEN LEFT UNTRIMMED,

BECAUSE OF AN EXTREMELY NARROW

MARGIN.

HERTZBERG-NEW METHOD INC

# WISSENSCHAFTLICHE ERGEBNISSE

DER

# DEUTSCHEN TIEFSEE-EXPEDITION

AUF DEM DAMPFER „VALDIVIA“ 1898-1899

IM AUFTRAGE DES REICHSAMTES DES INNERN

HERAUSGEGEBEN VON

CARL CHUN

PROFESSOR DER ZOOLOGIE IN LEIPZIG

LEITER DER EXPEDITION

## SECHSTER BAND

## ATLAS

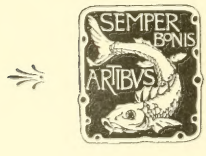


JENA

VERLAG VON GUSTAV FISCHER

1904

1499
M33063
1904
atlas
INVZ

6346-3

WISSENSCHAFTLICHE ERGEBNISSE DER DEUTSCHEN TIEFSEE-EXPEDITION
AUF DEM DAMPFER „VALDIVIA“ 1898—1899. BAND VI

# BRACHYURA

BEARBEITET VON

DR. FRANZ DOFLEIN
PRIVATDOZENT AN DER UNIVERSITÄT MÜNCHEN
II. KONSERVATOR DER ZOOLOGISCHEN STAATSSAMMLUNG

MIT 58 TAFELN, EINER TEXTTAFEL
UND 68 FIGUREN UND KARTEN IM TEXT

## ATLAS

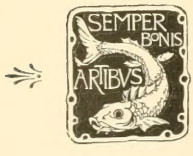


JENA
VERLAG VON GUSTAV FISCHER
1904

SMITHSONIAN INSTITUTION
230610
MAR 31 1932
NATIONAL MUSEUM

MAR 28 1932

Uebersetzungsrecht vorbehalten

Tafel I.

# Tafel I.

Fig. 1. *Homolochunia Valdiviae* n. sp. Erwachsenes Exemplar, ♂. S. 4.
„ 2. Junges ♂. S. 6.

Beide in natürlicher Größe. Ostafrikanische Küste.

Gemalt von Gustav Keller nach von F. Winter während der Expedition nach dem Leben gemachten Farbenskizzen.

*1 u. 2. Homolochunia valdiviae n. g. n. sp. ♂ u. ♂ juv.*

Tafel II.

# Tafel II.

*Platymaia Wyville-Thomsoni* Miers, ♂. Natürliche Größe. Westlich von Sumatra. S. 67. Gemalt von Gustav Keller nach einer von F. Winter während der Expedition nach dem Leben angefertigten Farbenskizze.

Tafel III.

# Tafel III.

*Geryon affinis* M.-E. u. Bouv, ♂ von mittlerer Größe. Südatlantik. Natürliche Größe. S. 109.
Nach einer von F. Winter während der Expedition angefertigten Farbenskizze gemalt von Gustav Keller.

*Geryon affinis M.-E. u. Bouv.*

Tafel IV.

# Tafel IV.

*Geryon affinis* M.-E. u. Bouv, großes ♂. Ostafrikanische Küste. Natürliche Größe. S. 109.

Nach einer von F. Winter während der Expedition nach dem Leben angefertigten Farbenskizze gemalt von Gustav Keller.

Tafel V.

# Tafel V.

Fig. 1. *Homolodromia Bouvieri* n. sp., ♂, von oben. Ostafrikanische Küste. S. 4.
„ 2. Dasselbe Exemplar von unten.
„ 3. Dasselbe Exemplar mit gestrecktem Abdomen; zu beachten sind die männlichen Geschlechtsfüße.
„ 4. *Homola barbata orientalis* Hend, ♂. Exemplar von der Nordwestküste von Sumatra = *H. andamanica* Alcock. S. 14.
„ 5. *Homola barbata orientalis* Hend., ♂. Exemplar aus der Sagamibai, Japan.

1

2

3

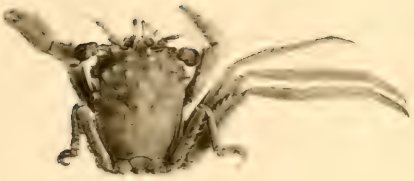

4

5

*Homolodromia bouvieri n.sp.* (Fig. 1-3.
*Homola barbata var. orientalis Hend.* (Fig. 4 & 5.

Tafel VI.

# Tafel VI.

Fig. 1. *Dromia spinosa* (Studer), ♂, von oben. Vergr. 1,4 : 1. Kapregion. S. 9.
„ 2. Dasselbe Exemplar von unten. Vergr. 1,4 : 1.
„ 3. *Dromia bicornis* (Studer), ♂, von oben. Vergr. 2,25 : 1. Kapregion. S. 8.
„ 4. *Dromia bicornis* (Studer), ♂, kleines Exemplar, von oben. Vergr. 2,25 : 1.
„ 5. Dasselbe Exemplar wie Fig. 3 von unten. Vergr. 2,4 : 1.

*Dromia spinosa (Studer) (Fig. 1 & 2) Dromia bicornis (Studer) (Fig. 3-5*

Tafel VII.

# Tafel VII.

Fig. 1. *Paromola profundorum* Alc. u. And., ♂, von oben. Vergr. 1,4 : 1. Ostafrikanische Küste. S. 16.

„ 2. Dasselbe Exemplar von unten. Vergr. 1,4 : 1.

„ 3. *Dromia atlantica* n. sp., ♂, von oben. Vergr. 3,2 : 1. Kongomündung. S. 10.

„ 4. Dasselbe Exemplar von unten. Vergr. 3,2 : 1.

Fig. 3 u. 4 sind besonders an den Konturen ziemlich stark retouchiert, da sie wegen der hellen Färbung des Objektes sich schlecht vom weißen Hintergrund abhoben.

1

3

4

2

*Paromola profundorum Alc. & And. (Fig 1&2) Dromia atlantica n. sp. (Fig. 3&4)*

*Doflein phot*

*Photogravure Bruckmann München*

*Verlag von Gustav Fischer in Jena*

Tafel VIII.

# Tafel VIII.

Fig. 1. *Pseudodromia latens* Stm. in dem von *Synandrocarpa dominculus* gebildeten Gehäuse.
„ 2. Dasselbe.
„ 3. Dasselbe Tier, aus dem Gehäuse herausgenommen, ♂, von oben.
„ 4. ♂, von der Seite, stärker vergrößert.
„ 5. ♀, von unten.
„ 5a. Ein Pleopod desselben, Kapregion. S. 12.
„ 6. ♂, von unten. Ostafrika. S. 12.

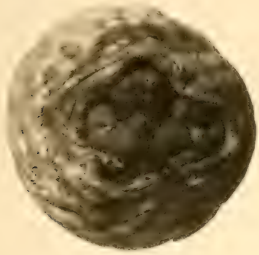

1

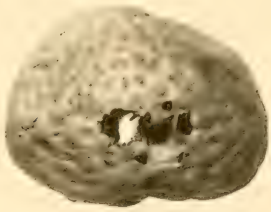

2

5

3

5

6

4

*Pseudodromia latens* Stimpson ♂ & ♀ (Fig. 1-6.)

Tafel IX.

# Tafel IX.

Fig. 1. *Homolochunia Valdiviae* n. g. n. sp., ♂, von unten S. 4.
„ 2. *Homolochunia Valdiviae*, dasselbe Exemplar von oben.
„ 3. 2. Gnathopod eines weiblichen Exemplars.
„ 4. 1. Gnathopod von demselben.
„ 5. 3. Maxille von demselben.
„ 6. 2. Maxille von demselben.
„ 7. 1. Maxille von demselben.
„ 8. Mandibel von demselben.

Beide von der ostafrikanischen Küste.

1

3 4 5 6 7 8

2

*Homolochunia valdiviae n. g. n. sp.* ♂.

Tafel X.

# Tafel X.

Fig. 1. *Homolochunia Valdiviae* n. g. n. sp., ♀, mit Eiern. S. 4.
„ 2. Dasselbe Exemplar von unten.
Ostafrikanische Küste.

1

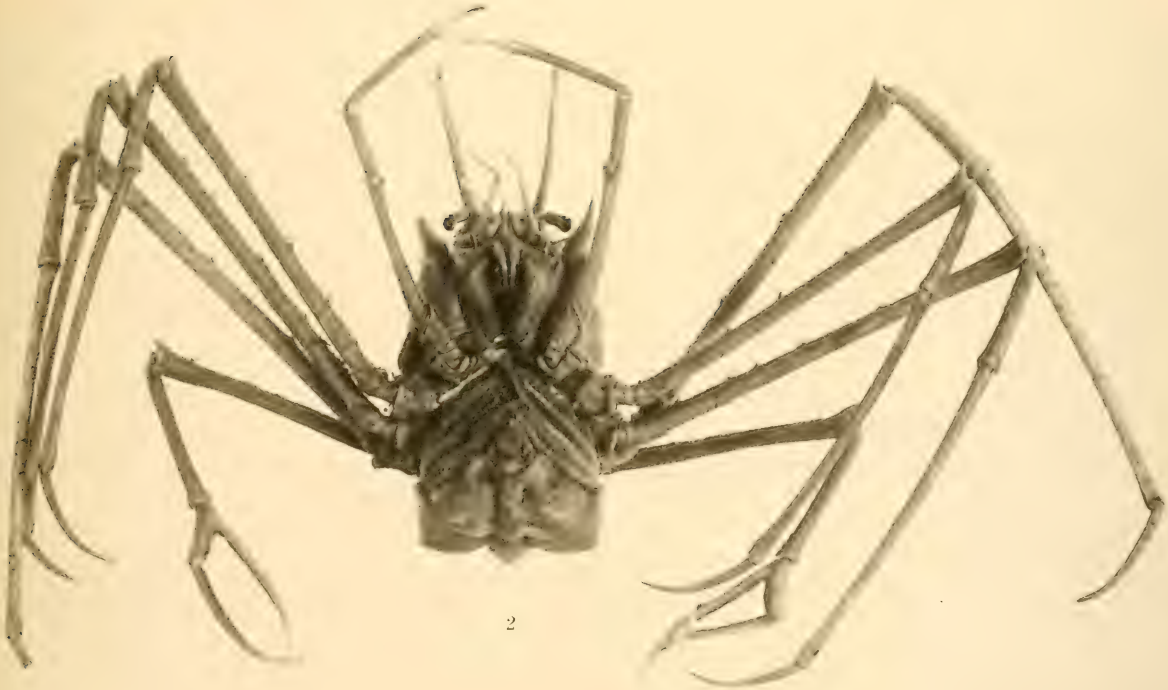

2

*Homolochunia valdiviae n.g. n.sp. ♀.*

Tafel XI.

# Tafel XI.

Fig. 1. *Hypsophrys longipes* Alc. u. And., ♂. Westlich von Sumatra. S. 17.
„ 2. Dasselbe Exemplar von unten. S. 17.
„ 3. *Homologenus Braueri* n. sp., ♂, Ostafrika. S. 18.
„ 4. Dasselbe Exemplar von unten. S. 18.
„ 5. *Cymonomus granulatus Valdiviae* Lankester. Ostafrika. S. 33.

1 2

3

4

5

Tafel XII.

# Tafel XII.

Fig. 1. *Cymonomus granulatus* (Norm.), ♀. Vergr. 3,5 : 1. Ostafrika. S. 33.
„ 2. Dasselbe Exemplar von unten. Vergr. 3,5 : 1. S. 33.
„ 3. Abdomen desselben Exemplares um die Größe der Eier zu zeigen. Vergr. 3,1 : 1.
„ 4. *Cyclodorippe unciféra glaucomma* Alc., ♂. Ostafrika. Vergr. 3,5 : 1. S. 34.
„ 5. Dasselbe Exemplar von unten. Vergr. 3,5 : 1. S. 34.
„ 6. *Cyclodorippe unciféra melanomma* Alc., ♀, von unten. Ostafrika. Vergr. ca. 4 : 1. S. 34
„ 7. *Cyclodorippe unciféra melanomma* Dofl., ♂. Japan. Vergr. 3,1 : 1. S. 34.
„ 8. *Cyclodorippe dromioides* Ortm., ♀. Japan. Vergr. 3,1 : 1.

1

3

2

4

5

8

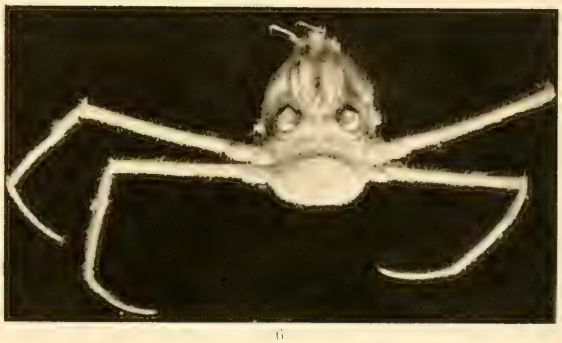

6

7

*Cymonomus granulatus (Norm.)* ♀ (Fig. 1-3.) *Cyclodorippe uncifera Ortm.* (♂ Fig. 4, 5 & 7, ♀ Fig. 6. *Cyclodorippe dromioides Ortm.* ♀ (Fig. 8

# Tafel XIII.

# Tafel XIII.

Fig. 1. *Ethusa (Ethusina) abyssicola* S. J. Smith, ♂. Ostafrika. Vergr. 2,2 : 1. S. 31.
„ 2. Dasselbe Exemplar von unten. Vergr. 2,2 : 1. S. 31.
„ 3. *Ethusa Zurstrasseni* n. sp., ♂. Ostafrika. Vergr. 2,2 : 1. S. 28.
„ 4. Dasselbe Exemplar von unten. Vergr. 2,2 : 1. S. 28.
„ 5. *Ethusa somalica* n. sp. ♀. Vergr. 2,47 : 1. Ostafrika. S. 30.
„ 6. Dasselbe Exemplar von unten. Vergr. 2,64 : 1. S. 30.
„ 7. *Ethusa andamanica* Alc. Vergr. 2,47 : 1. Nikobaren. S. 27.
„ 8. Dasselbe Exemplar von unten. Vergr. 2,64 : 1. S. 27.

*Ethusa (Ethusina) abyssicola S.J.Smith* ♂ *(Fig. 1 & 2.) E. zurstrasseni n.sp.* ♂ *(Fig. 3 & 4.) E. somalica n.sp.* ♀ *(Fig. 5 & 6.) E. andamanica Alc. (Fig. 7 & 8.)*

Tafel XIV.

# Tafel XIV.

Fig. 1. *Randallia pustulosa* Wood-Mason, ♀, juv. Stadium I. Ostafrika. S. 42.
„ 2. Dasselbe Exemplar von der Bauchseite.
„ 3. *Randallia pustulosa* W.-M., ♀, juv. Stadium II. Ostafrika. S. 43.
„ 4. *Randallia pustulosa* W.-M., ♀, fast erwachsen. Stadium III. Ostafrika. S. 43.
„ 5. Dasselbe Exemplar von der Bauchseite.
„ 6. *Randallia pustulosa* W.-M., erwachsenes ♀. Stadium IV. Groß-Nikobar. S. 43.
„ 7. *Pariphiculus coronatus* Alc. u. And., ♂. Bei Groß-Nikobar. S. 41.
„ 8. *Parilia Alcocki* W.-M., ♀. Nias-Nordkanal. S. 44.
„ 9. Dasselbe Exemplar von der Bauchseite, mit ♂ gestaltetem Abdomen.

1

7

2

3

8

4

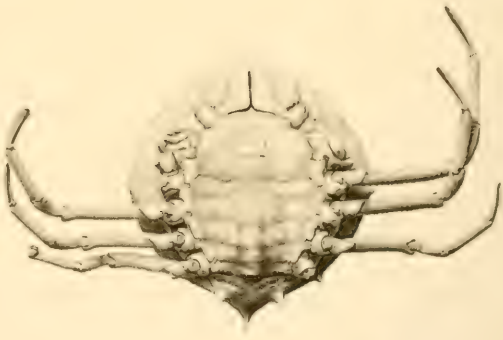

9

6

5

*Randallia pustulosa* Wood-Mason ♂ & ♀ (Fig. 1-6.) *Pariphiculus coronatus* Alc. & And. ♂ (Fig. 7.)
*Parilia alcocki* W. M. ♂ (Fig. 8 & 9.

Tafel XV.

# Tafel XV.

Fig. 1. *Philyra punctata* Bell ♀. Südafrika. Vergr. 2,2 : 1. S. 45.
„ 2. Dasselbe Exemplar von der Bauchseite. Vergr. 2,2 : 1. S. 45.
„ 3. *Philyra punctata* Bell, ♂, vom Rücken. Vergr. 2,2 : 1. S. 45.
„ 4. Dasselbe Exemplar von der Bauchseite. Vergr. 2,2 : 1. S. 45.
„ 5. *Philyra laminata* n. sp., ♂, von unten. Nias-Nordkanal. Vergr. 3,52 : 1. S. 46.
„ 6. Dasselbe Exemplar von oben. Vergr. 3,52 : 1. S. 46.
„ 7. *Atlantotlos* n. g. *rhombifer* n. s., ♀, von unten. Kongomündung. Vergr. 3,52 : 1. S. 50.
„ 8. Dasselbe Exemplar von oben. Vergr. 3,52 : 1. S. 50.

1

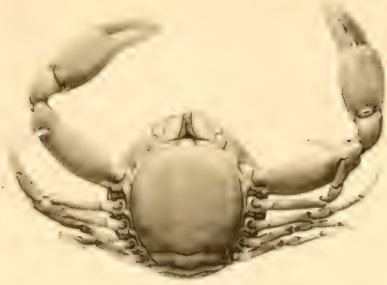

2

3

4

5

7

6

8

*Philyra punctata* Bell ♂ ♀ (Fig. 1-4.) *P. laminata n. sp.* ♂ (Fig. 5 & 6.) *Atlantotlos n. g. rhombifer n. sp.* ♀ (Fig. 7 & 8.

Tafel XVI.

# Tafel XVI.

Fig. 1. *Ebalia salamensis* n. sp., ♂, von oben. Ostafrika. Vergr. 3,2 : 1. S. 47.
„ 2. *Ebalia salamensis* n. sp., ♂, von oben. Vergr. 3,2 : 1. S. 47.
„ 3. *Ebalia salamensis* n. sp., ♂, von unten. Vergr. 3,2 : 1. S. 47.
„ 4. *Ebalia (Phlyxia) atlantica* M.-E. u. B., ♀. Seinebank. Vergr. 3,2 : 1. S. 46.
„ 5—12. *Mursia cristimana* Latr. Wachstumsstadien, welche die allmähliche Veränderung der Proportionen und der Skulptur des Cephalothorax zeigen. Cap Agulhas. Sämtliche vergrößert 1,3 : 1.

*Ebalia salamensis n. sp. (Fig. 1-3.) Ebalia (Phlyxia) atlantica M.E. & B. Fig. 4. Marsia cristimana Latr. (Fig. 5-12.*

Tafel XVII.

# Tafel XVII.

Fig. 1. *Mursia armata typica* DE HAAN, ♂, juv. Japan. Vergr. 1,1 : 1. S. 40.
„ 2. *Mursia armata curtispina* MIERS, ♂. Nias. Vergr. 1,1 : 1. S. 41.
„ 3. *Mursia armata bicristimana* ALC. u. AND., ♀. Groß-Nikobar. Vergr. 1,1 : 1.

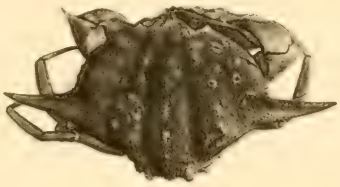

1

2

3

*Mursia armata de Haan var. typica ♂ juv. (Fig. 1.) var. curtispina Miers ♂ (Fig. 2. var. bicristimana Alc. & And. ♀ (Fig. 3.*

# Tafel XVIII.

# Tafel XVIII.

Fig. 1. *Mursia cristimana* Latr. Linke Schere. S. 38.
„ 2. *Mursia armata typica* de Haan. Rechte Schere. S. 40.
„ 3. *Mursia armata curtispina* Miers. Linke Schere. S. 40.
„ 4. *Mursia armata bicristimana* Alc. u. And., ♀, von unten. S. 41.
„ 5. *Cosmonotus Grayi* Ad. u. Wh. ♂, von oben, Augen eingezogen. Ostafrika. Vergr. 1,5 : 1. S. 51.
„ 6. *Cosmonotus Grayi* Ad. u. Wh., ♂, von unten, Augen eingezogen. Vergr. 1,5 : 1. S. 51.
„ 7. *Cosmonotus Grayi* Ad. u. Wh., kleines ♂, von oben, mit herausgeklappten Augenstielen. Vergr. 1,5 : 1. S. 51.
„ 8. *Cosmonotus Grayi* Ad. u. Wh., kleines ♂, von der Seite, mit vorgezogenen Augenstielen. Vergr. 1,5 : 1. S. 51.

5

6

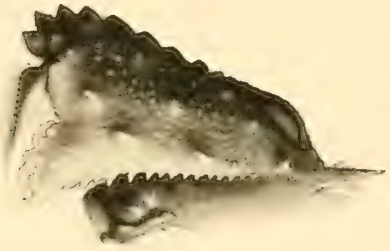

3

7

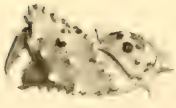

1

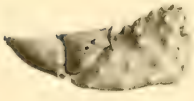

2

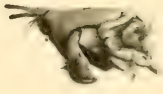

8

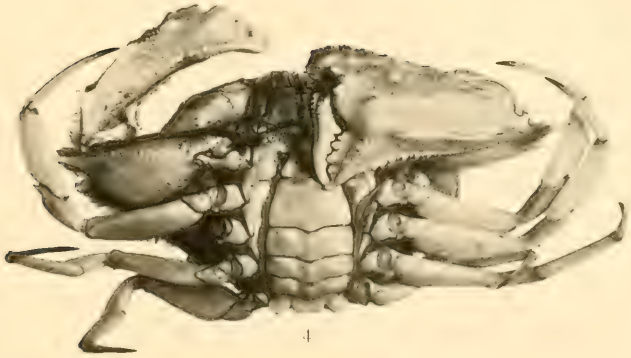

4

*Mursia cristimana Latr. (Fig. 1.) Mursia armata d. H. var. typica (Fig. 2.) var. curtispina Miers (Fig. 3. var. bicristimana Alc. & And. (Fig. 4.) Cosmonotus grayi Ad. & Wh. (Fig. 5-8.*

# Tafel XIX.

# Tafel XIX.

Fig. 1. *Cyrtomaia Suhmi typica* Miers, ♂, juv. Nias. Vergr. 1,3 : 1. S. 54.
„ 2. Dasselbe Exemplar von unten. Vergr. 1,3 : 1. S. 54.
„ 3. *Cyrtomaia Suhmi platyceros* n. sbsp., ♂. Ostafrika. Vergr. 1,3 : 1. S. 55.

1

2

3

*Cyrtomaia suhmi typica Miers.* ♂ *(Fig. 1 & 2.) Cyrtomaia suhmi platyceros n. sb. sp.* ♂ *(Fig. 3.)*

Tafel XX.

# Tafel XX.

*Platymaia Wyville-Thomsoni* Miers. Stadium I. Dasselbe Exemplar von oben und von unten. Vergr. 2,3 : 1. Ostafrikanische Küste. S. 60.

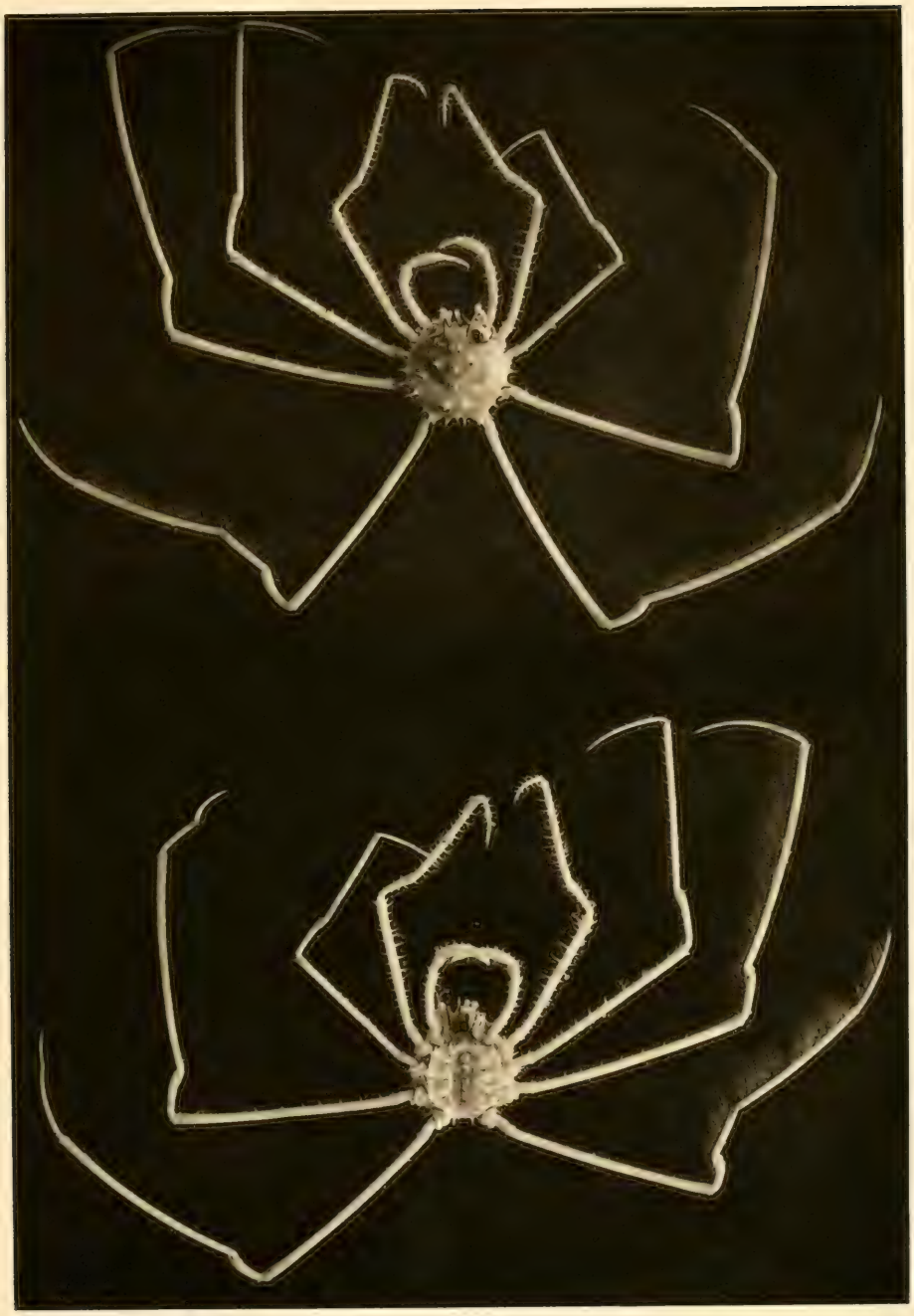

*Platymaia wyville-thomsoni Miers Stadium I.*

Tafel XXI.

# Tafel XXI.

Fig. 1. *Platymaia Wyville-Thomsoni* Miers. Stadium I. Ostafrikanische Küste. S. 60.
„ 2. *Platymaia Wyville-Thomsoni* Miers. Stadium II. Groß-Nikobar. S. 62.
„ 3. *Platymaia Wyville-Thomsoni* Miers. Stadium III. Ostafrikanische Küste. S. 63.
„ 4. *Platymaia Wyville-Thomsoni* Miers. Stadium IV. Sansibar-Kanal. S. 63.

Alle annähernd 1 : 1.

1

2

3

4

*Platymaia wyville-thomsoni Miers Stadium I-IV. (Fig 1-4.*

Tafel XXII.

# Tafel XXII.

Fig. 1. *Platymaia Wyville-Thomsoni* Miers, ♂. Stadium V. S. 64.

„ 2. *Platymaia Wyville-Thomsoni* Miers, ♀. Stadium IX. Westlich von Sumatra. S. 65.

Beide Figuren annähernd 1 : 1.

1

2

*Platymaia wyville-thomsoni Miers. Stadium V. ♂ (Fig. 1.) Stadium IX. ♀ (Fig. 2*

# Tafel XXIII.

# Tafel XXIII.

*Platymaia Wyville-Thomsoni* MIERS, ♂. Stadium VII. Groß-Nikobar. Dasselbe Tier von oben und von unten. Verkleinerung 9 : 10. S. 64.

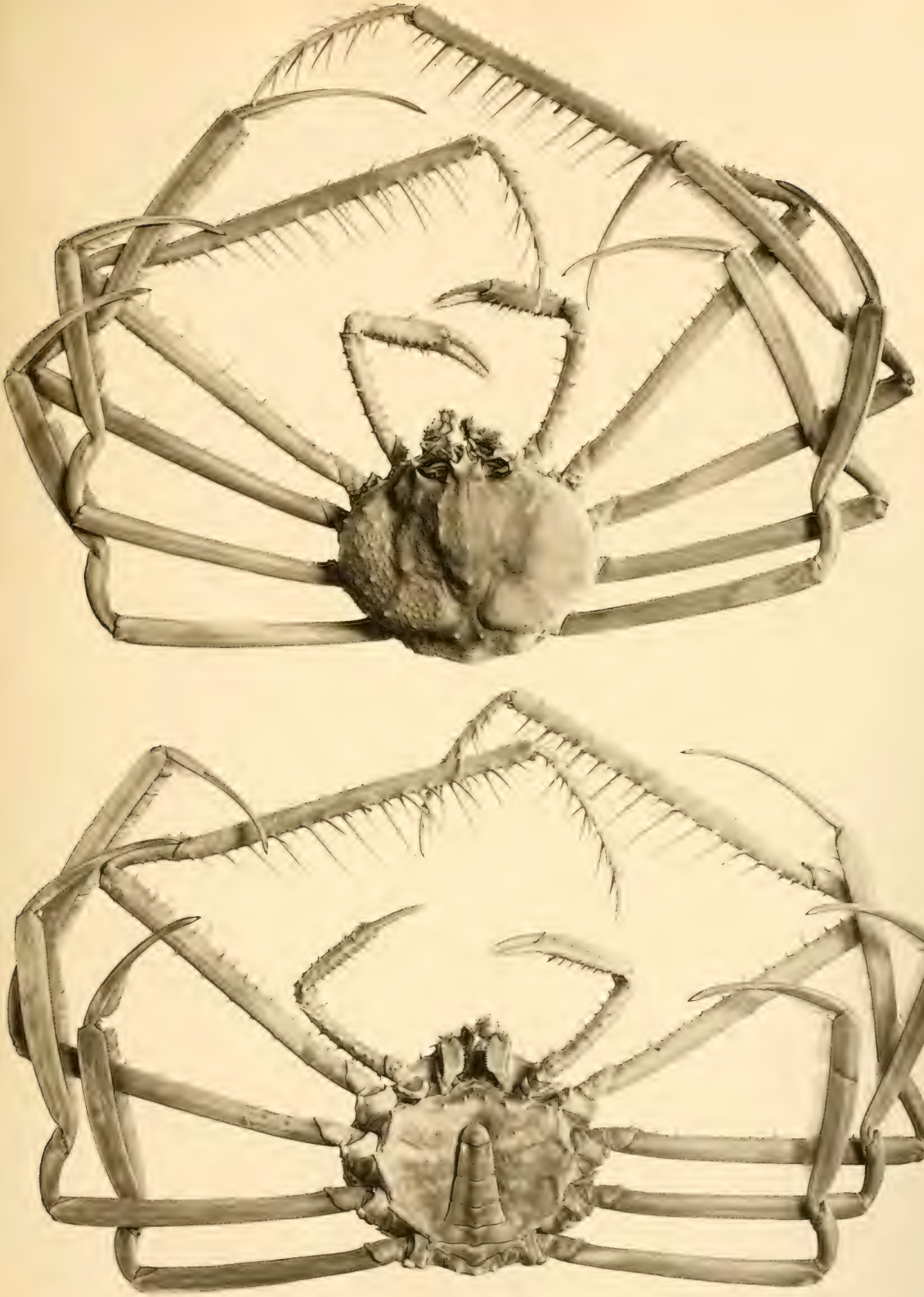

*Platymaia wyville-thomsoni* Miers. ♂. Stadium VII.

Photogravure Bruckmann-München

Tafel XXIV.

# Tafel XXIV.

Fig. 1. *Physachaeus ctenurus* And., ♂. Groß-Nikobar. Ca. 1,5 : 1. S. 71.
„ 2. Dasselbe Exemplar von unten. Ca. 1,5 : 1. S. 71.
„ 3. Ein anderes ♂, mit abgenommenem Abdomen. Ca. 1,5 : 1. S. 71.
„ 4. *Physachaeus ctenurus* And., ♀, von unten. Ca. 1,5 : 1. S. 71.
„ 5. *Pleistacantha Moseleyi* Miers. Stadium I. Vergr. 1,25 : 1. Ostafrika. S. 77.
„ 6. *Pleistacantha Moseleyi* Miers. Stadium II. Vergr. 1,25 : 1. Ostafrika. S. 77.

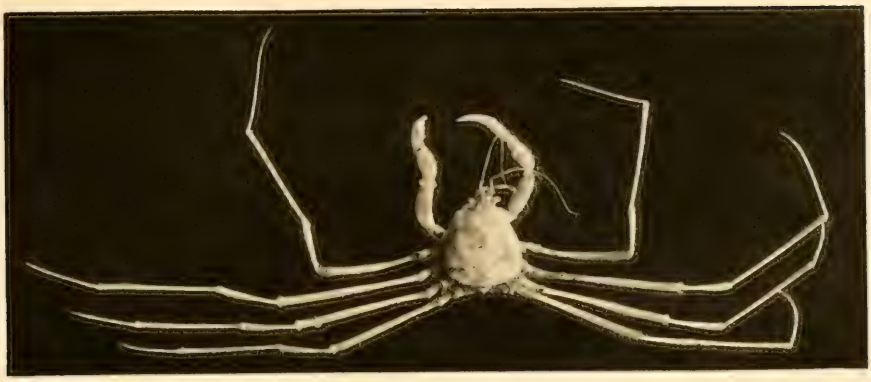

1

2

3

4

5

6

*Physachaeus ctenurus* And. ♂ ♀ (Fig. 1–4.) *Pleistacantha moseleyi* Miers Stadium I & II. (Fig. 5 & 6.

# Tafel XXV.

# Tafel XXV.

Fig. 1. *Pleistacantha Moseleyi* (Miers), ♀. Stadium III. S. 77.
„ 2. Dasselbe Tier von unten.
„ 3. *Pleistacantha Moseleyi* (Miers), ♂. Stadium IV. Bei Groß-Nikobar. S. 78.
Beide ein wenig verkleinert.

1

2

3

*Pleistacantha moseleyi (Miers) Stadium III. ♀ (Fig 1 & 2.) Stadium IV. ♂ (Fig. 3*

Tafel XXVI.

# Tafel XXVI.

*Pleistacantha Moseleyi* (Miers), ♂. Stadium IV. Bei Groß-Nikobar. Verkleinerung 1 : 1,67.

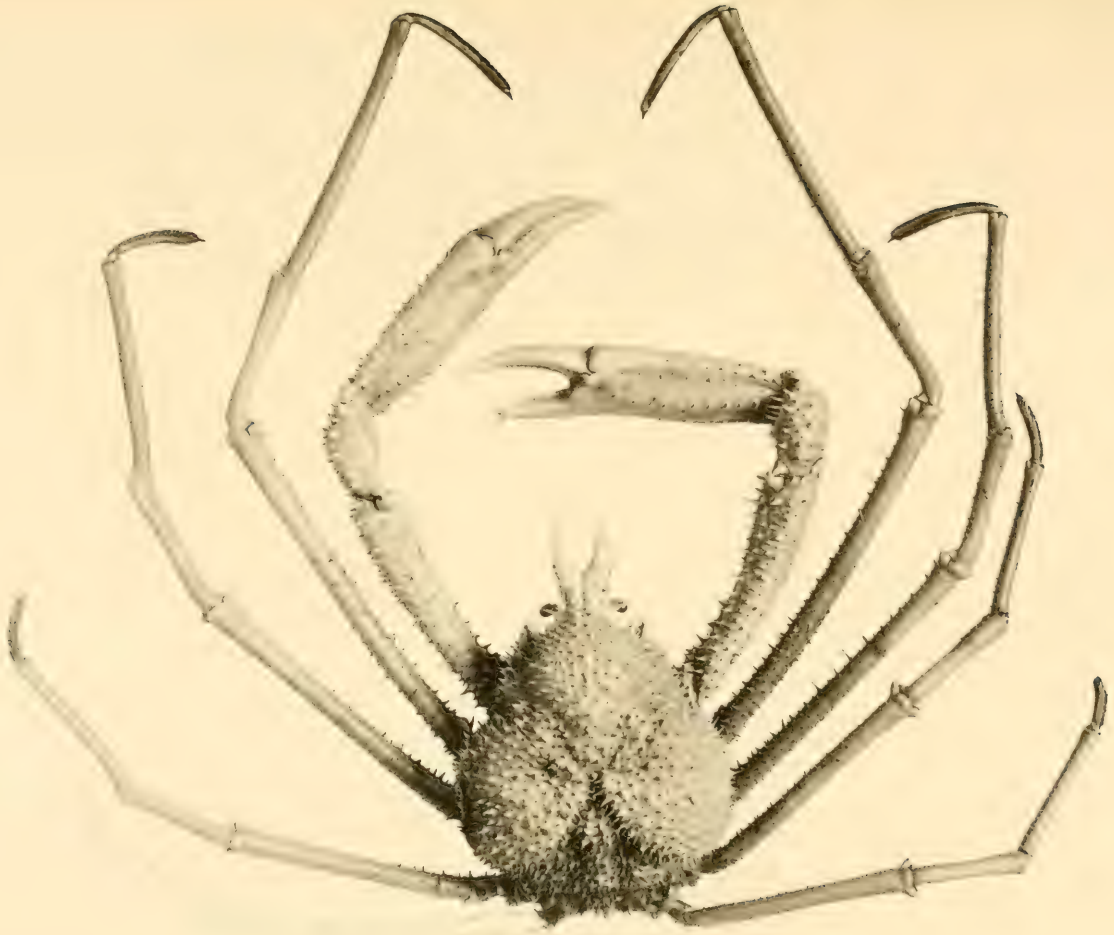

*Pleistacantha moseleyi (Miers) ♂ Stadium IV.*

# Tafel XXVII.

# Tafel XXVII.

Fig. 1. *Scyramathia Hertwigi* n. sp., ♂. Vergr. 4,9 : 3. Kapregion. S. 81.
„ 2. Dasselbe Exemplar von unten. Vergr. 1,3 : 1. S. 81.
„ 3. *Scyramathia Hertwigi* n. sp., ♀, von unten. Vergr. 1,3 : 1. S. 81.
„ 4. Variationen des Cephalothorax. Vergr. 4,1 : 3. S. 81.
„ 5. Desgleichen. Vergr. 4,1 : 3. S. 81.
„ 6. Desgleichen. Vergr. 4,1 : 3. S. 81.
„ 7. Desgleichen. Vergr. 1,3 : 1. S. 81.
„ 8. *Scyramathia Rivers-Andersoni* Alcock, ♂. Vergr. 1,3 : 1. Ostafrika. S. 84.
„ 9. *Scyramathia Rivers-Andersoni* Alc., jüngeres ♂. Vergr. 1,3 : 1. Ostafrika. S. 84.
„ 10. Dasselbe von unten. Vergr. 1,3 : 1. S. 84.
„ 11. *Scyramathia Rivers-Andersoni* Alc., ♀, von unten. Vergr. 1,3 : 1. Ostafrika. S. 84.
„ 12. *Scyramathia pulchra* Miers, ♀, von unten. Ostafrika. S. 84.
„ 13. *Hyastenus brevirostris* n. sp., ♀, von oben. Vergr. 4,1 : 3. Bei Sumatra. S. 85.
„ 14. Dasselbe Exemplar von unten. Vergr. 1,3 : 1. S. 85.

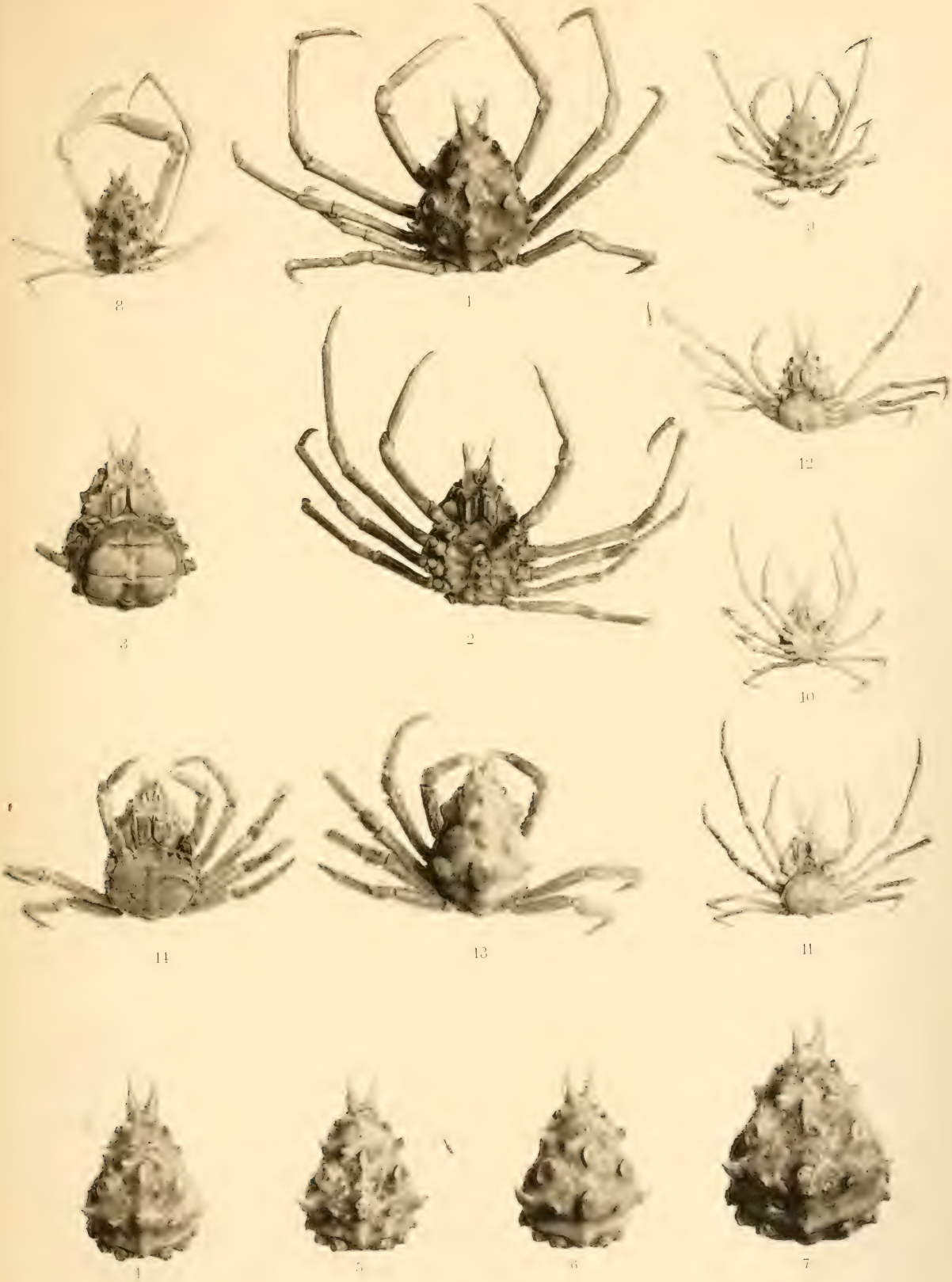

*Scyramathia hertwigi n.sp. (Fig. 1-7). Scyramathia rivers-andersoni Alcock ♂ & ♀ (Fig. 8-11). Scyramathia pulchra Miers ♀ (Fig. 12). Hyastenus brevirostris n.sp. (Fig. 13-14)*

# Tafel XXVIII.

# Tafel XXVIII.

Fig. 1. *Scyramathia Hertwigi* n. sp., ♂ adult. Kapregion. S. 81.
„ 2. *Inachus antarcticus* n. sp., ♀. Kapregion. S. 74.
„ 3. Dasselbe Exemplar von unten. S. 74.
„ 4. *Trichopeltarium Alcocki* n. sp., ♂. Westlich von Sumatra. S. 88.
„ 5. Dasselbe Exemplar von unten. S. 88.

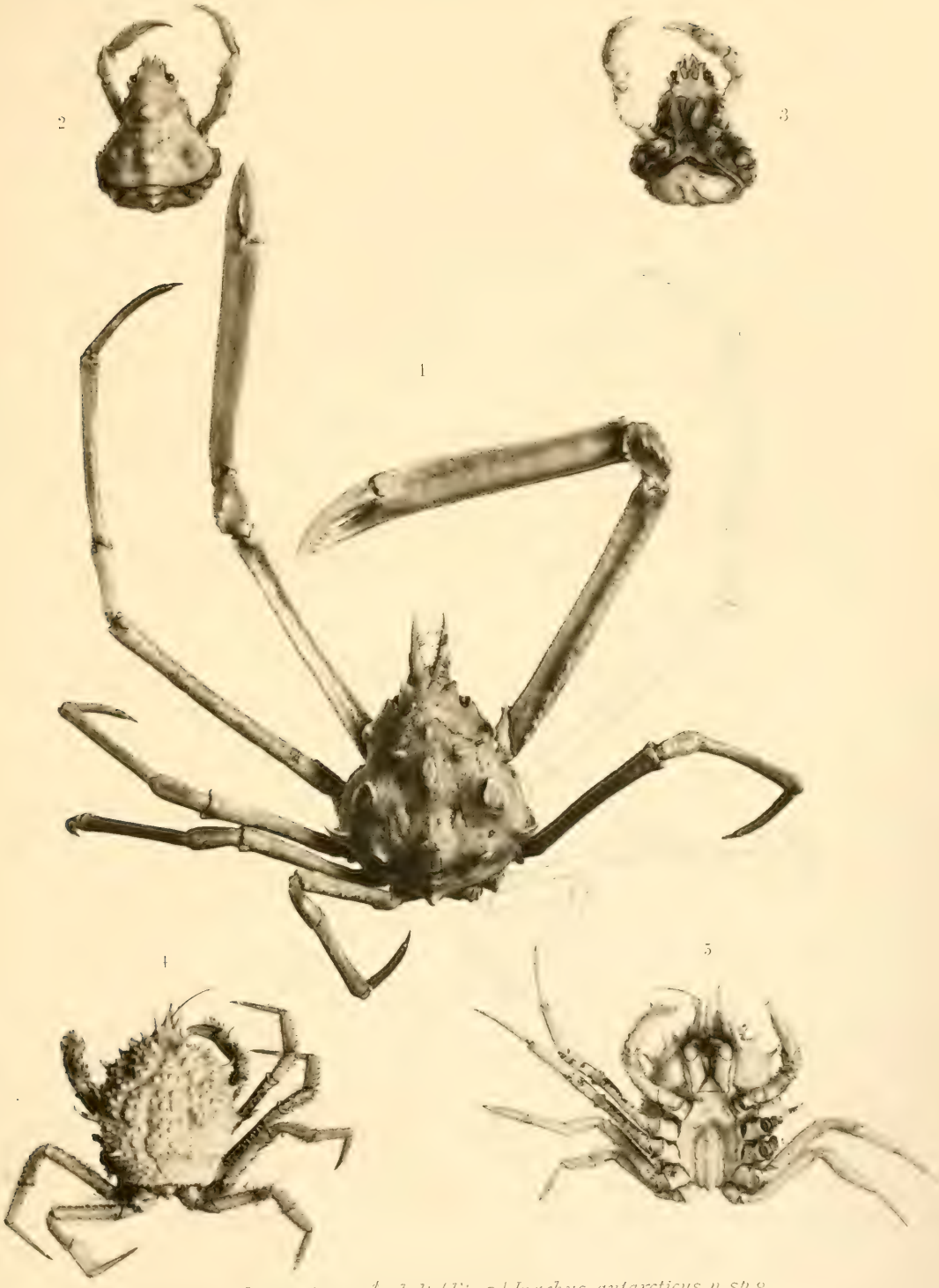


*Scyramathia hertwigi n. sp. ♂ adult. (Fig. 1.) Inachus antarcticus n. sp. ♀ Fig. 2 & 3.) Trichopeltarium alcocki n. sp. ♂ (Fig. 4 & 5.)*

Tafel XXIX.

# Tafel XXIX.

Fig. 1. *Benthochascon Hemingi* Alc., ♂. Vergr. 4 : 3. Bei Groß-Nikobar. S. 90.
„ 2. Dasselbe von unten. Vergr. 4 : 3. S. 90.

1

2

*Benthochascon hemingi Alc. ♂ Fig. 1 & 2*

Tafel XXX.

# Tafel XXX.

Fig. 1. *Elliptodactylus rugosus* n. g. n. sp. Westafrika. S. 94.
„ 2. *Elliptodactylus rugosus*. Cephalothorax eines größeren Exemplares. Westafrika. S. 94.
„ 3. *Elliptodactylus rugosus*. Schere. S. 94.
„ 4. *Psopheticus stridulans* W.-M. Bei Groß-Nikobar. S. 118.

1

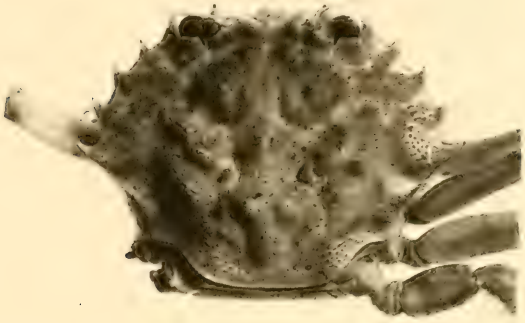

2

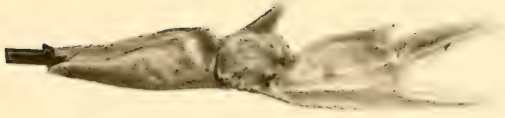

3

1

*Elliptodactylus rugosus n.g.n.sp.(Fig.1-3.) Psopheticus stridulans W.-M.(Fig.4.)*

# Tafel XXXI.

# Tafel XXXI.

Fig. 1. *Geryon paulensis* n. sp., ♀. Nördlich von St.Paul und Amsterdam. S. 112.
„ 2. Dasselbe Exemplar von unten. S. 112.
„ 3. *Hexaplax megalops* nov. gen. n. sp., ♂. Vergr. 2 : 1. S. 122.
„ 4. Dasselbe Exemplar von unten. Vergr. 2 : 1. S. 122.

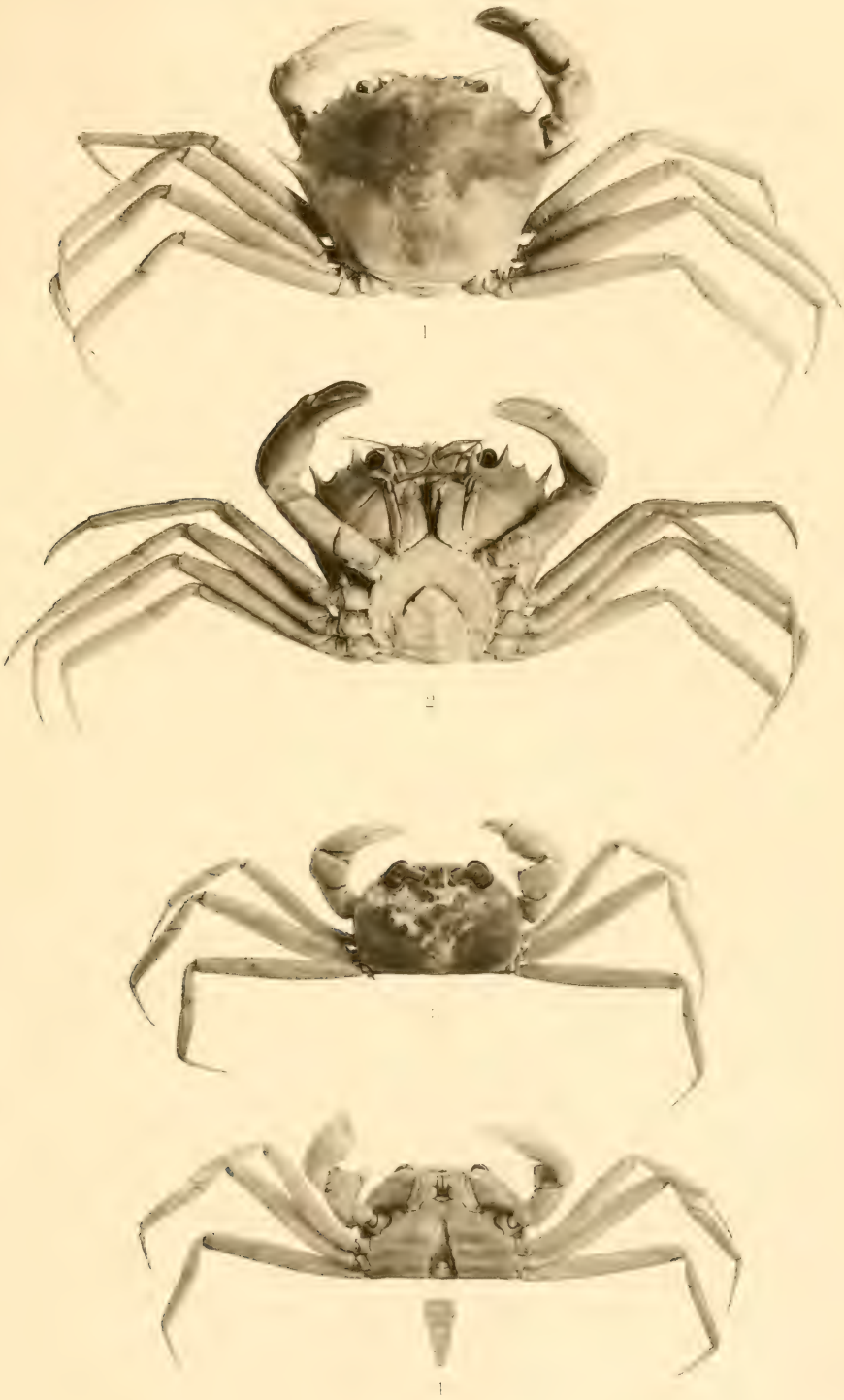

*Geryon paulensis n sp ♀ (Fig 1 & 2). Hexaplax megalops nov. gen. n. sp. ♂ (Fig 3 & 4*

# Tafel XXXII.

# Tafel XXXII.

Fig. 1. *Actaea hirsutissima* (Rüpp.) ♂. Indopacifik. S. 102.
„ 2. Dasselbe Exemplar von unten.
„ 3. *Pilumnus verrucosipes* Stm., ♀. Kapregion S. 100.
„ 4. Dasselbe Exemplar von unten.
„ 5. *Lambrus macrocheles* (Hbst.), ♂. Atlantik. S. 87.
„ 6. *Ovalipes trimaculatus* (D. H.), juv. Südafrika. S. 92.
„ 7. *Elliptodactylus rugosus* n. g. n. sp., ♂. Westafrika. S. 94.

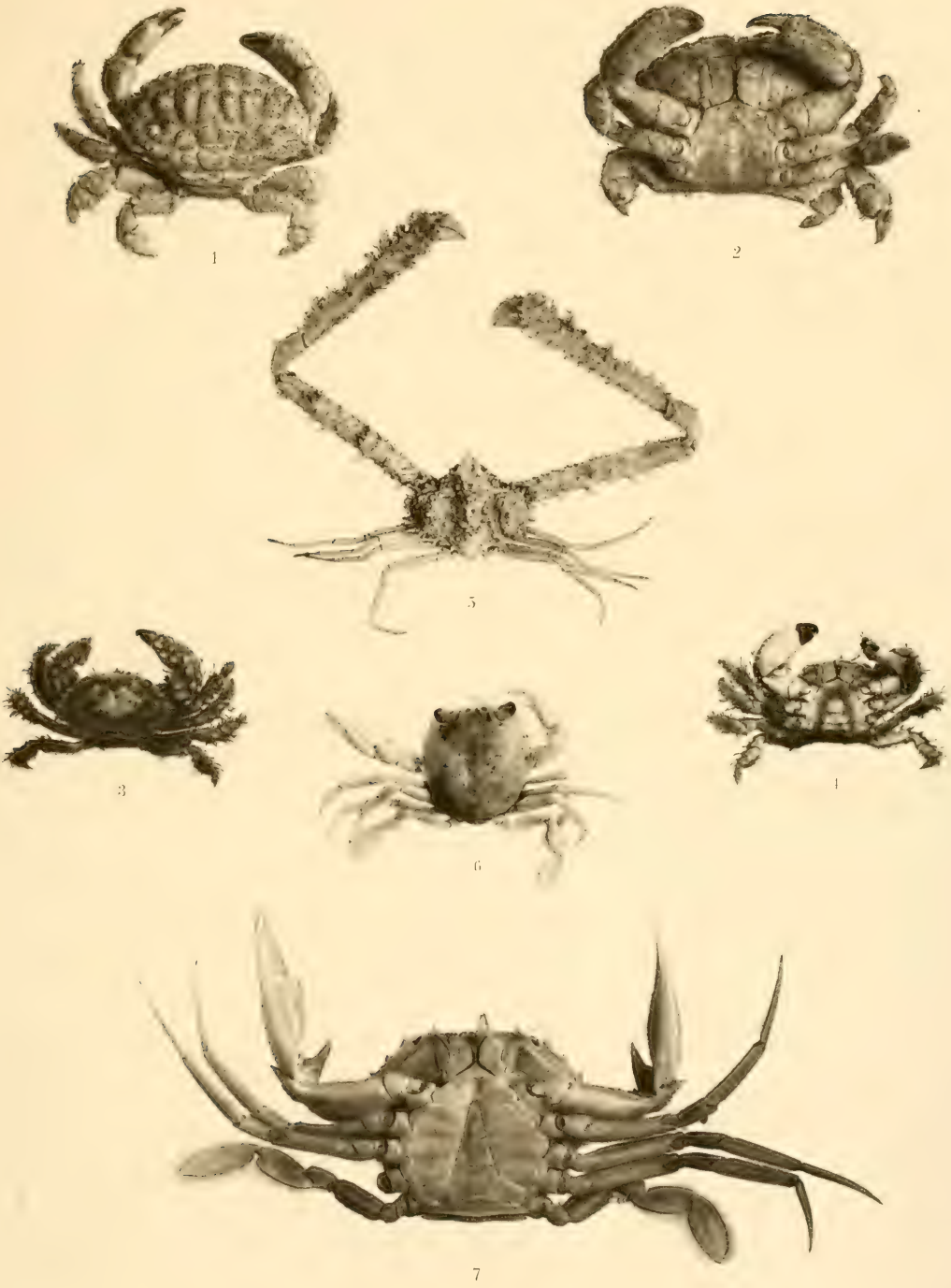


*Actaea hirsutissima (Rüpp.) ♂ (Fig. 1 & 2.) Pilumnus verrucosipes Stm. ♀ (Fig. 3 & 4.) Lambrus macrocheles (Hbst. ♂ (Fig. 5.) Ovalipes trimaculatus (d.H.) juv. (Fig. 6.) Elliptodactylus rugosus n.g.n.sp. ♂ (Fig. 7.*

# Tafel XXXIII.

# Tafel XXXIII.

Fig. 1. *Geryon affinis* M.-E. u. Bouv., ♂. Südatlantik. S. 106.
„ 2. Dasselbe Tier von unten. S. 106.

Etwas verkleinert.

1

2

*Geryon affinis M.-E. s. Bouv. ♂.*

Tafel XXXIV.

# Tafel XXXIV.

Fig. 1. *Geryon affinis* M.-E. s. Bouv., ♀. Südatlantik. S. 106.
„ 2. Dasselbe Tier von unten, mit Eiern.

1

2

*Geryon affinis M.-E. s. Bouv. ♀*

Tafel XXXV.

# Tafel XXXV.

Fig. 1. *Carcinoplax longimanus indicus* n. sbsp., ♂ juv. Nikobaren. S. 114.
„ 2. Dasselbe Tier von unten. S. 114.
„ 3. *Pilumnoplax americana* Rathbun, ♂. Westlich von Sumatra. S. 118.
„ 4. Dasselbe Tier von unten. S. 118.

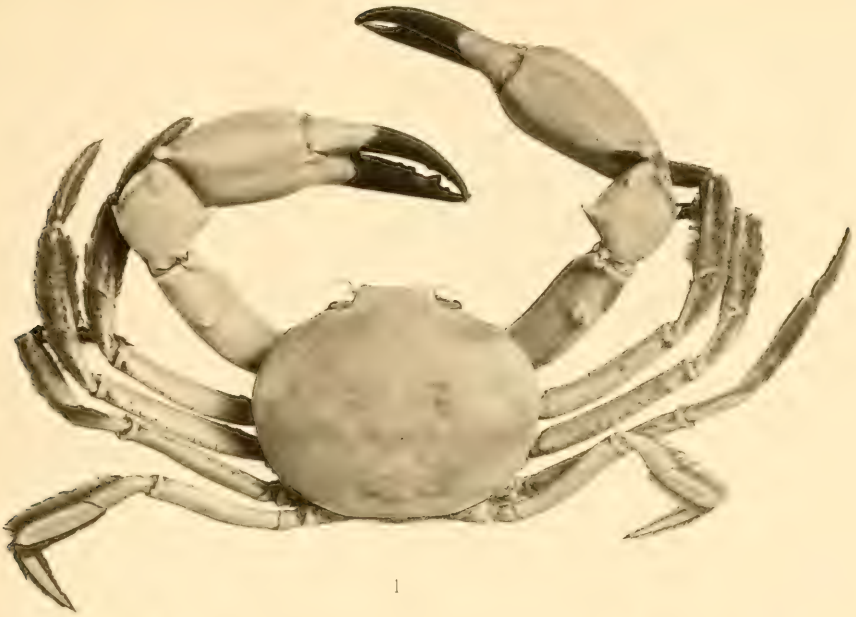

1

3

4

2

*Carcinoplax longimanus indicus n. sbsp. ♂ juv. (Fig. 1 & 2.) Pilumnoplax americana Rathbun ♂ (Fig. 3 & 4.*

Tafel XXXVI.

# Tafel XXXVI.

*Carcinoplax longimanus typicus* DE HAAN, ♂ adult. Japan. S. 115.

*Carcinoplax longimanus typicus de Haan ♂ adult*

# Tafel XXXVII.

# Tafel XXXVII.

Fig. 1. *Retropluma Chuni* n. sp. Westlich von Sumatra. S. 131.
„ 2. Dasselbe Tier von unten. S. 131.
„ 3. *Pinnotheres* sp., ♀. Algoabai. S. 124.
„ 4. Dasselbe Tier von unten. S. 124.
„ 5. *Pinnotheres villosissimus* n. sp., ♀, aus *Muelleria lecanora* JAEG. Emmahafen. S. 125.
„ 6. Dasselbe Tier von unten. S. 125.

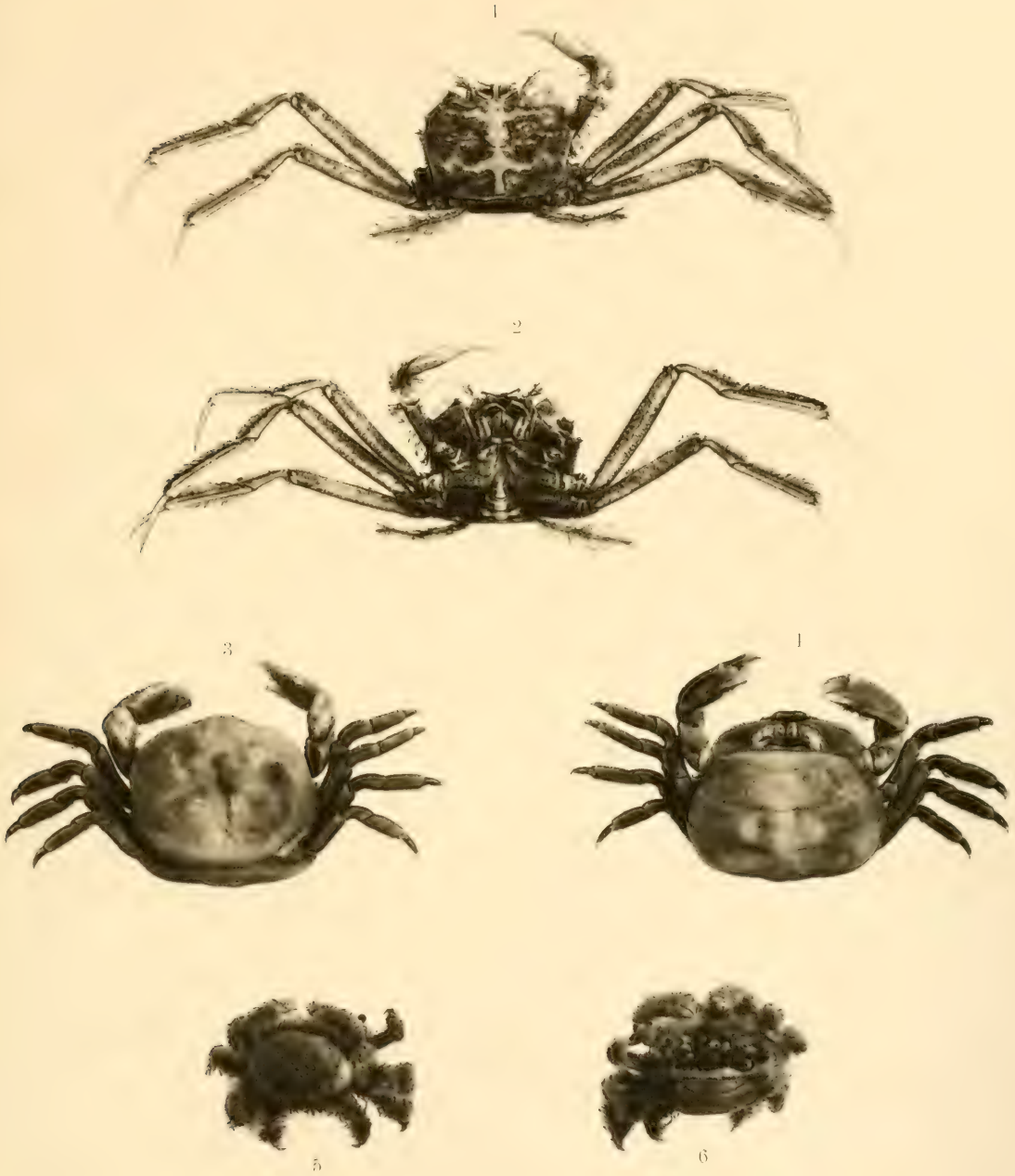


*Retropluma chuni n. sp. (Fig. 1 & 2.) Pinnotheres sp. ♀ (Fig. 3 & 4.)*
*Pinnotheres villosissimus n. sp. ♀ (Fig. 5 & 6.)*

# Tafel XXXVIII.

# Tafel XXXVIII.

Mundgliedmaßen.

Fig. 1. 2. Gnathopod von *Geryon affinis.*
„ 2. 1. Gnathopod von *Geryon affinis.*
„ 3. 3. Maxille von *Geryon affinis.*
„ 4. 2. Maxille von *Geryon affinis.*
„ 5. 1. Maxille von *Geryon affinis.*
„ 6. 2. Gnathopod von *Cyclodorippe unciferа.*
„ 7. 1. Gnathopod von *Cyclodorippe unciferа.*
„ 8. 2. Gnathopod von *Cymonomus granulatus Valdiviae.* Ostafrika.
„ 9. Mandibel von *Geryon affinis.*
„ 10. 2. Gnathopod von *Homolodromia Bouvieri* Dof.
„ 11. 1. Gnathopod von *Homolodromia Bouvieri* Dof.
„ 12. 3. Maxille von *Homolodromia Bouvieri* Dof.
„ 13. 2. Maxille von *Homolodromia Bouvieri* Dof.

*1–5, 9. Geryon affinis M.-E. — 6 u. 7. Cyclodorippe uncifera Ortm. — 8. Cymonomus granulatus (Norm.) 10–13. Homolodromia bouvieri n. sp.*

Tafel XXXIX.

# Tafel XXXIX.

Mundgliedmaßen von *Platymaia Wyville-Thomsoni* Miers.

Fig. 1. 2. Gnathopod.
„ 2. 3. Maxille.
„ 3. 1. Gnathopod.
„ 4. 2. Maxille.
„ 5. 1. Maxille.

*Platymaia wyville-thomsoni Miers*

Tafel XL.

# Tafel XL.

Mundgliedmaßen von *Cyrtomaia Suhmi platyceros* Miers.

Fig. 1. 2. Gnathopod.
„ 2. 1. Gnathopod.
„ 3. Abdominalfuß (Pleopod). (Im Text S. 58 irrtümlich als Fig. 7 bezeichnet).
„ 4. 3. Maxille. (Im Text S. 57 irrtümlich als Fig. 3 bezeichnet).
„ 5. 1. Maxille.
„ 6. Mandibel.
„ 7. 2. Maxille. (Im Text S. 57 irrtümlich als Fig. 4 bezeichnet).

*Cyrtomaia suhmi platyceros* =

Tafel XLI.

# Tafel XLI.

Fig. 1. Geschlechtsfüße von *Benthochascon Hemingi*, ♂.
„ 2. Schere von *Benthochascon Hemingi*, ♂.
„ 3. Haare der Pleopoden mit zoëahaltigen und leeren Eihüllen von *Geryon affinis*.
„ 4. Anatomie von *Geryon affinis*.
„ 5. Daktylopodit der Schreitbeine von *Geryon affinis*.
„ 6. Geschlechtsfüße von *Geryon affinis*, ♂.
„ 7. Daktylopodit der Schreitbeine von *Geryon affinis*.

*A* Abdomen
*Ac* Arteria cephalica
*Aa* Arteria abdominalis
*O* merkwürdige Bildung an der Schere (ob Sinnesorgan?)
*Ma* Magen
*L* Leber
*d* dreizackartige Bildung
*Ov* Ovar
*LE* leere Eihüllen
*EE* zoëahaltige Eihüllen
*G* 1. Geschlechtsfuß
*G'* 2. Geschlechtsfuß

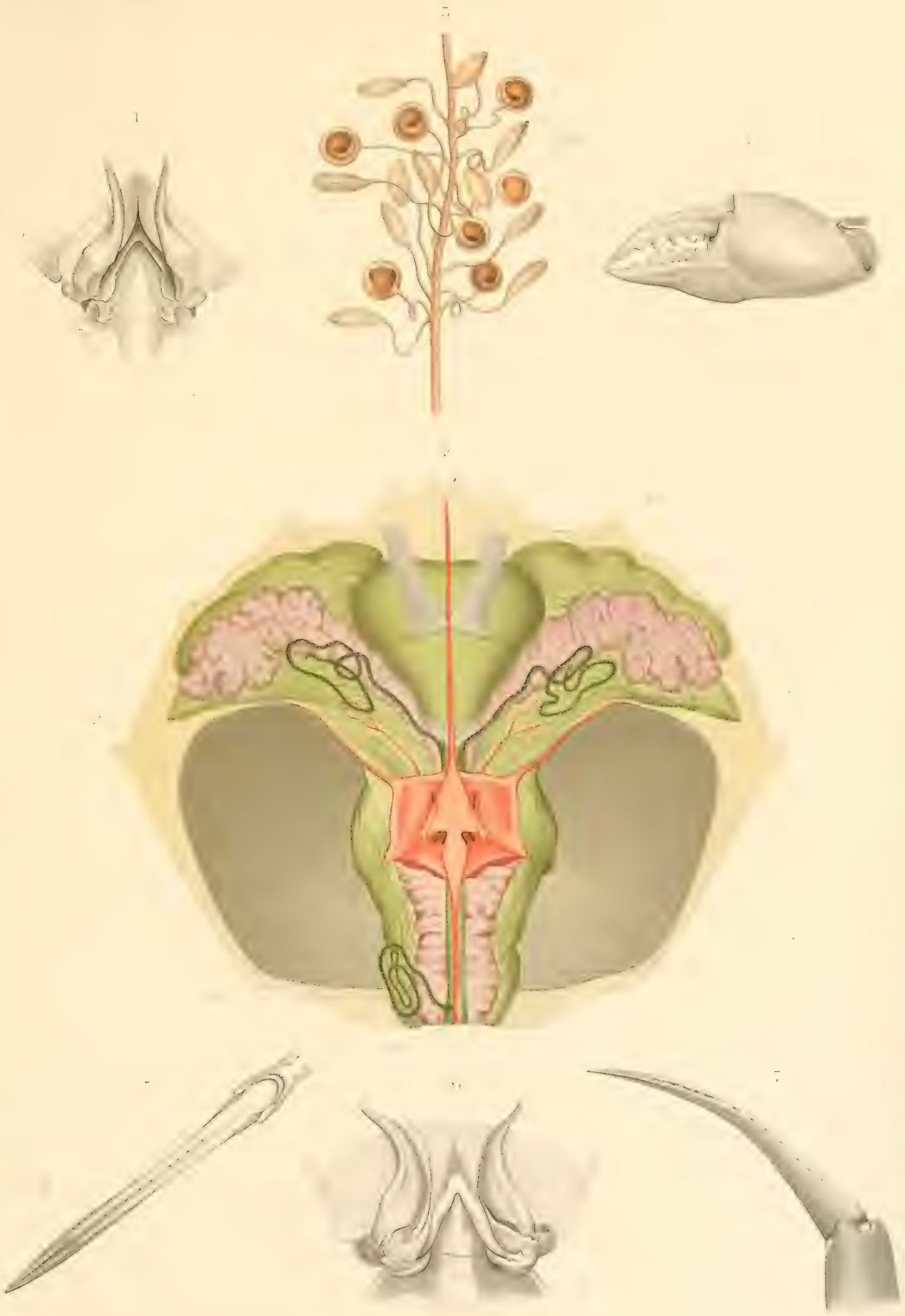

*1 u. 2. Benthochascon hemingi Alc. — 3-7. Geryon affinis M.-E.*

Tafel XLII.

# Tafel XLII.

*Physachaeus ctenurus.*

Fig. 1. Habitusbild eines ♂.
„ 2. Cephalothorax eines anderen Exemplares.
„ 3. Abdomen des ♂, von unten.
„ 4. Abdomen des ♂, von der Seite.
„ 5. Abdomen des ♀, von unten.
„ 6. 2. Gnathopod.
„ 7. Abdomen des ♀ von innen, mit den Eiern.

Tafel XLIII.

# Tafel XLIII.

Innere und äußere Antennen.

Fig. 1. *Homolochunia Valdiviae.* Innere Antenne.
„ 2. *Geryon affinis.* Aeußere Antenne.
„ 3. *Homolodromia Bouvieri.* Aeußere Antenne.
„ 4. *Cyrtomaia Suhmi platyceros.* Aeußere Antenne.
„ 5. *Platymaia Wyville-Thomsoni.* Aeußere Antenne.
„ 6. *Platymaia Wyville-Thomsoni.* Innere Antenne.
„ 7. *Physachaeus ctenurus.* Aeußere Antenne.
„ 8. *Geryon affinis.* Innere Antenne.
„ 9. *Physachaeus ctenurus.* Innere Antenne.

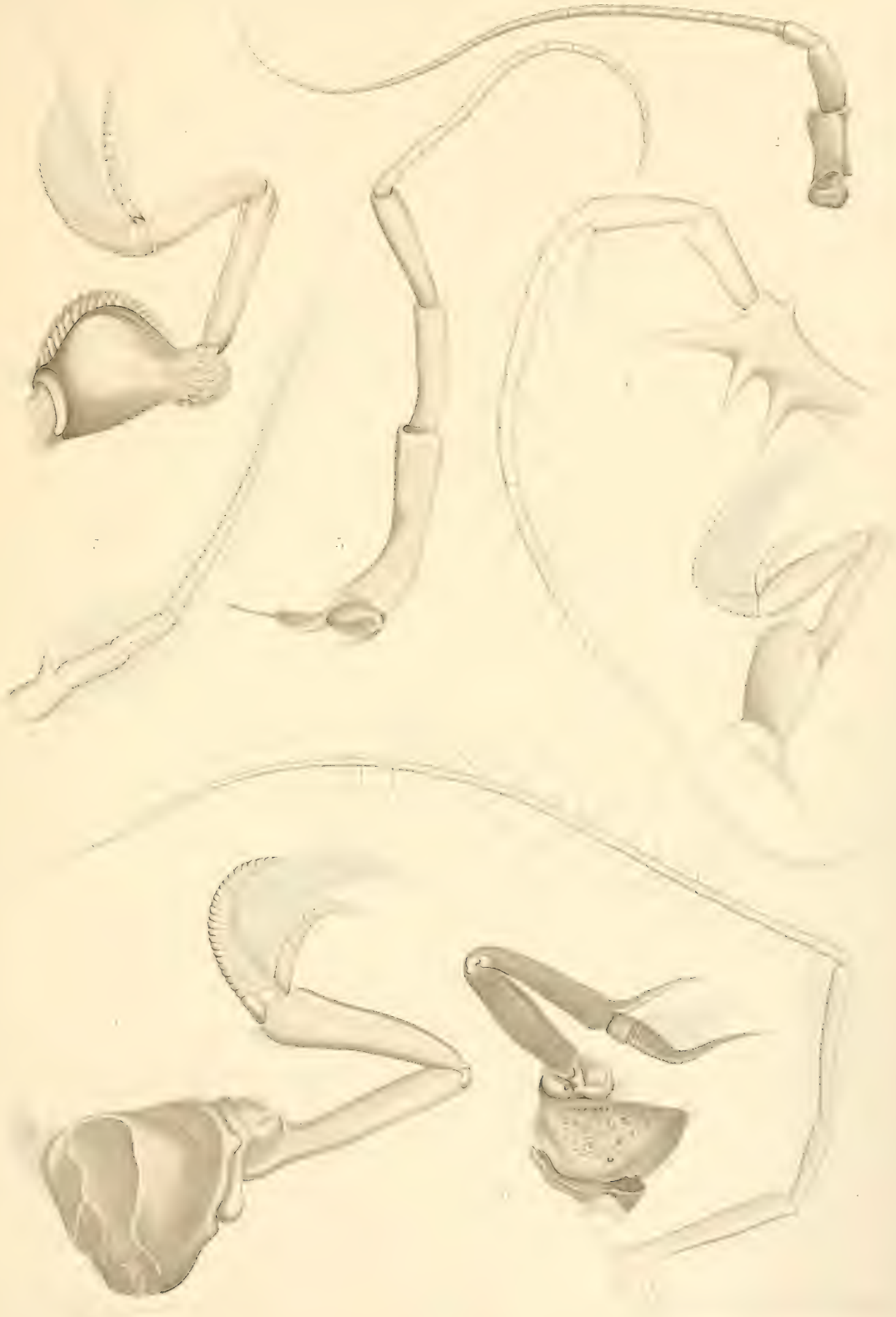

*1. Homolochunia valdiviae. — 2 u. 8. Geryon affinis. — 3. Homolodromia bouvieri. — 4. Cyrtomaia suhmi platycercs 5 u. 6. Platymaia wyville-thomsoni. — 7 u. 9. Physachaeus ctenurus.*

Tafel XLIV.

# Tafel XLIV.

Augen.

Fig. 1. *Ethusina abyssicola.* Auge total.
„ 2. *Ethusina abyssicola.* Dasselbe durchsichtig gemacht.
„ 3. *Ethusina abyssicola.* Desgleichen, Sagittalschnitt.
„ 4. *Ethusa somalica* Auge total, durchsichtig gemacht.
„ 5. *Ethusa somalica.* Sagittalschnitt durch dasselbe Auge.
„ 6. *Cymonomus granulatus typicus,* Auge total. Exemplar aus 440 m.
„ 7. *Cymonomus granulatus Valdiviae.* Rostrum mit Augen, durchsichtig gemacht. Exemplar aus 1000 m.
„ 8. *Ethusina abyssicola.* 2 Augenkeile im Schnittpräparat.
„ 9. *Ethusina abyssicola.* Teil des Nervus opticus.

Bezeichnungen wie auf S. 141/142.

# Tafel XLV.

# Tafel XLV.

Augen.

Fig. 1. *Cyrtomaia Suhmi platyceros.* Ganzes Auge.
„ 2. *Cyrtomaia Suhmi platyceros.* Dasselbe, durchsichtig gemacht.
„ 3. *Cyrtomaia Suhmi platyceros.* Sagittalschnitt durch das Auge.
„ 4. *Cyrtomaia Suhmi platyceros.* 3 Augenkeile desselben Auges.
„ 5. *Cyrtomaia Suhmi platyceros.* Tasthaare des Augenhorns.
„ 6. *Lispognathus Thomsoni.* Ganzes Auge.
„ 7. *Lispognathus Thomsoni.* 3 Augenkeile.

Bezeichnungen wie auf S. 141/142.

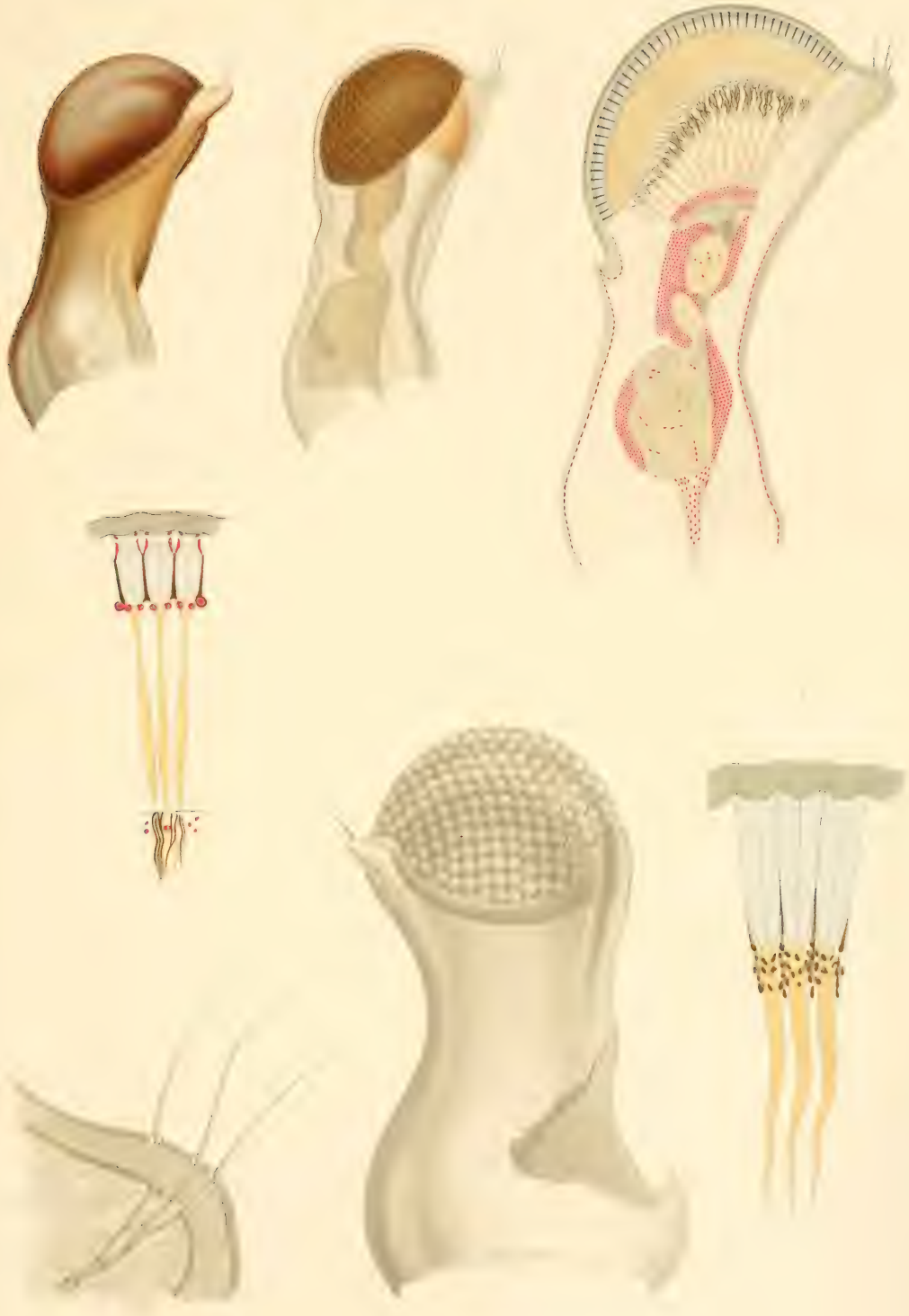

*1–5. Cyrtomaia suhmi platyceros.* *6 u. 7. Lispognathus thomsoni.*

# Tafel XLVI.

# Tafel XLVI.

Fig. 1. *Homolodromia Bouvieri* Dof. Sagittalschnitt durch das Auge.
„ 2. Dasselbe durchsichtig gemachte ganze Auge vor dem Schneiden.
„ 3. *Cyclodorippe uncifera melanomma* Dof. Schnitt.
„ 4. *Cyclodorippe uncifera melanomma* Dof. Dasselbe Auge total.
„ 5. *Cyclodorippe uncifera melanomma* Dof. 2 Augenkeile desselben Auges.
„ 6. *Cyclodorippe uncifera glaucomma* Alc. Ganzes Auge.
„ 7. *Cyclodorippe uncifera glaucomma.* Sagittalschnitt durch dasselbe Auge.

Bezeichnungen wie auf S. 141/142.

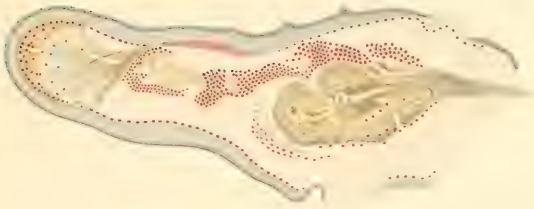

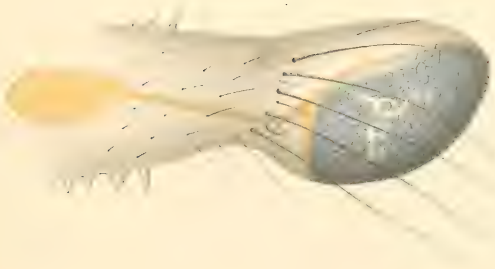

*1 u. 2. Homolodromia bouvieri Dof. - 3-7. Cyclodorippe uncifera Ortm.*

Tafel XLVII.

# Tafel XLVII.

Augen.

Fig. 1. *Homolodromia Bouvieri.* Schnitt durch Grenze von Krystallkegel und Corneafacette.
„ 2. *Homolodromia Bouvieri.* Oberer Teil eines Augenkeils.
„ 3. *Homolodromia Bouvieri.* Querschnitt durch den oberen Teil des Krystallkegels.
„ 4. *Homolodromia Bouvieri.* Querschnitt durch den mittleren Teil des Krystallkegels.
„ 5. *Homolodromia Bouvieri.* Querschnitt durch den oberen Teil des Stäbchens.
„ 6. *Cyclodorippe unciferа glaucomma.* Teil des Sagittalschnittes durch ein Auge.
„ 7. *Cyclodorippe unciferа glaucomma.* Augenkeil.
„ 8. *Cyclodorippe dromioides* Ortm. Sagittalschnitt durch das Auge.
„ 9. *Trichopeltarium Alcocki.* Ganzes Auge.
„ 10. *Trichopeltarium Alcocki.* Sagittalschnitt durch dasselbe Auge.
„ 11. *Trichopeltarium Alcocki.* 2 Augenkeile.

Bezeichnungen wie auf S. 141/141.

*1-5. Homolodromia Bouvieri Dof. — 6. Cyclodorippe unciferа glaucomma Alc.*
*7. C. unciferа melanomma Dof. — 8. C. dromioides Ortm. — 9-11. Trichopeltarium Alcocki Dof.*

# Tafel XLVIII.

# Tafel XLVIII.

Auge von *Physachaeus ctenurus.*

Fig. 1. Ganzes Auge.
„ 2. Sagittalschnitt durch dasselbe.
„ 3. Seitlicher Schnitt durch das Ganglion opticum.
„ 4. Zwei Augenkeile.
„ 5. Flachschnitt durch eine Corneafacette.
„ 6. Sagittalschnitt durch eine Corneafacette, zeigt die eigenartigen Pigmentbrocken.
„ 7. Desgleichen.
„ 8. Querschnitte durch die Krystallkegel.
„ 9. Querschnitte durch deren unteren Teil mit dem oberen Ende des Stäbchens.
„ 10. Querschnitte durch den unteren Teil der Stäbchen.
„ 11. Bindegewebe des Augenstiels bei *Physachaeus ctenurus.*

Bezeichnungen wie auf S. 141/142.

1-11. *Physachaeus elongatus* Alc.

Tafel XLIX und L.

# Tafel XLIX und L.

## Totalbilder von Augen.

Fig. 1. *Geryon affinis.*
„ 2. *Platymaia Wyville-Thomsoni.* Stadium IV.
„ 3. *Homolochunia Valdiviae.*
„ 4. *Hypsophrys longipes.*
„ 5. *Platymaia Wyville-Thomsoni.* Stadium VII.
„ 6. Dasselbe Auge von oben, schwächer vergrößert.
„ 7. *Hexaplax megalops.*

Alle stark vergrößert.

1
3
5
6
2
4
7

# Tafel LI.

# Tafel LI.

Augen.

Fig. 1. *Hypsophrys longipes.* Sagittalschnitt.
„ 2. *Homolochunia Valdiviae.* Sagittalschnitt.
„ 3. *Platymaia Wyville-Thomsoni.* Sagittalschnitt. Nur Augenkeile eingezeichnet unter Weglassung der Nerven und Ganglien.

Bezeichnungen wie auf S. 141/142.

*H* Blatthaare
*Ta* Tapetum
*W* Wachstumszone
*F* Füllgewebe

*1. Hypsophrys longipes. — 2. Homolochunia valdiviae. — 3. Platymaia wyville thomsoni.*

Tafel LII.

# Tafel LII.

Augen.

Fig. 1. *Hypsophrys longipes.* Wachstumszone eines ziemlich ausgewachsenen Auges.
„ 2. *Hypsophrys longipes.* Ausgewachsene Augenkeile des gleichen Auges.
„ 3. *Hypsophrys longipes.* Querschnitt durch den distalen Teil der Krystallkegel.
„ 4. *Hypsophrys longipes.* Querschnitt durch den mittleren Teil der Krystallkegel.
„ 5. *Hypsophrys longipes.* Querschnitt durch den Uebergangsteil zwischen Krystallkegel und Rhabdom.
„ 6. *Cyrtomaia Suhmi.* Querschnitt durch die Krystallkegel.
„ 7. Auge der noch in der Eihülle befindlichen Zoëa von *Geryon affinis.*

Bezeichnungen wie auf S. 141/142.

1-5. *Hypsophrys longipes.* — 6. *Cyrtomaia Suhmi.* — 7. *Geryon affinis juv.*

Tafel LIII.

# Tafel LIII.

Augen von *Platymaia Wyville-Thomsoni* Miers.

Fig. 1. Auge von Stadium I. Sagittalschnitt.
„ 2. Auge von Stadium IV. Sagittalschnitt.
„ 3. Querschnitte durch die Augenkeile von Stadium I:
A) in der Region der Corneafacetten,
B) im distalen Teil der Krystallkegel,
C) im mittleren Teil der Krystallkegel,
D) in der distalen Region der Stäbchen,
E) Querschnitt durch den mittleren kernlosen Teil der Krystallkegel.

Bezeichnungen wie auf S. 141/142.

1-3 A-E. Platymaia coquille-thorn. ni Miers.

Tafel LIV.

# Tafel LIV.

Fig. 1. *Platymaia Wyville-Thomsoni.* Augenkeile von Stadium IV.
„ 2. *Platymaia Wyville-Thomsoni.* Augenkeile von Stadium VII.
„ 3. *Platymaia Wyville-Thomsoni.* Tapetum und Durchtrittsstellen der Stäbchen.
„ 4. *Platymaia Wyville-Thomsoni.* Querschnitt durch den oberen Teil der Stäbchen.
„ 5. Desgleichen.
„ 6. Desgleichen.
„ 7. *Platymaia Wyville-Thomsoni.* Stadium IV. Querschnitte durch den Uebergangsteil zwischen Krystallkegel und Stäbchen.
„ 8. *Pleistacantha Moseleyi.* Entwickelungsstadium der Augenkeile aus einem Auge vom Stadium I.
„ 9. Desgleichen.
„ 10. Desgleichen.
„ 11. *Pleistacantha Moseleyi.* Stadium I. Querschnitt durch das obere Stäbchenende.
„ 12. *Pleistacantha Moseleyi.* Stadium II. Proximales Stäbchenende mit schwachem Retinapigment.
„ 13. *Pleistacantha Moseleyi.* Stadium I. Mittlere Region der Krystallkegel mit Irispigmentzellen, ohne Pigment.
„ 14. *Pleistacantha Moseleyi.* Dasselbe weiter proximal.
„ 15. *Pleistacantha Moseleyi.* Stadium III. Querschnitt durch die distale Region der Stäbchen; starkes Irispigment.

Bezeichnungen wie auf S. 141/142

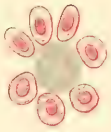

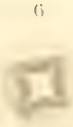

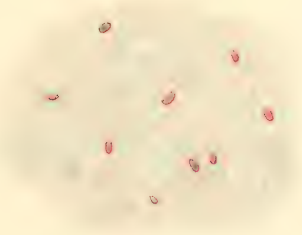

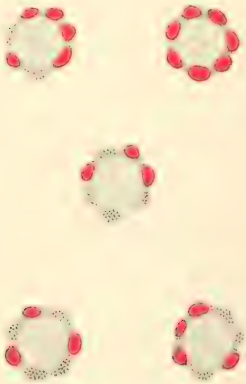

# Tafel LV.

# Tafel LV.

Augen.

Fig. 1. *Scyramathia Rivers-Andersoni.* Auge total, durchsichtig gemacht.
„ 2. *Scyramathia Rivers-Andersoni.* Längsschnitt durch das gleiche Auge.
„ 3. *Geryon affinis.* 3 Augenkeile.
„ 4. *Pleistacantha Moseleyi.* Stadium III. Sagittalschnitt durch das Auge.
„ 5. *Pleistacantha Moseleyi.* Stadium 1. Teil eines Sagittalschnittes.
„ 6. *Geryon affinis.* Sagittalschnitt durch den distalen Teil des Auges.

Bezeichnungen wie auf S. 141/142.

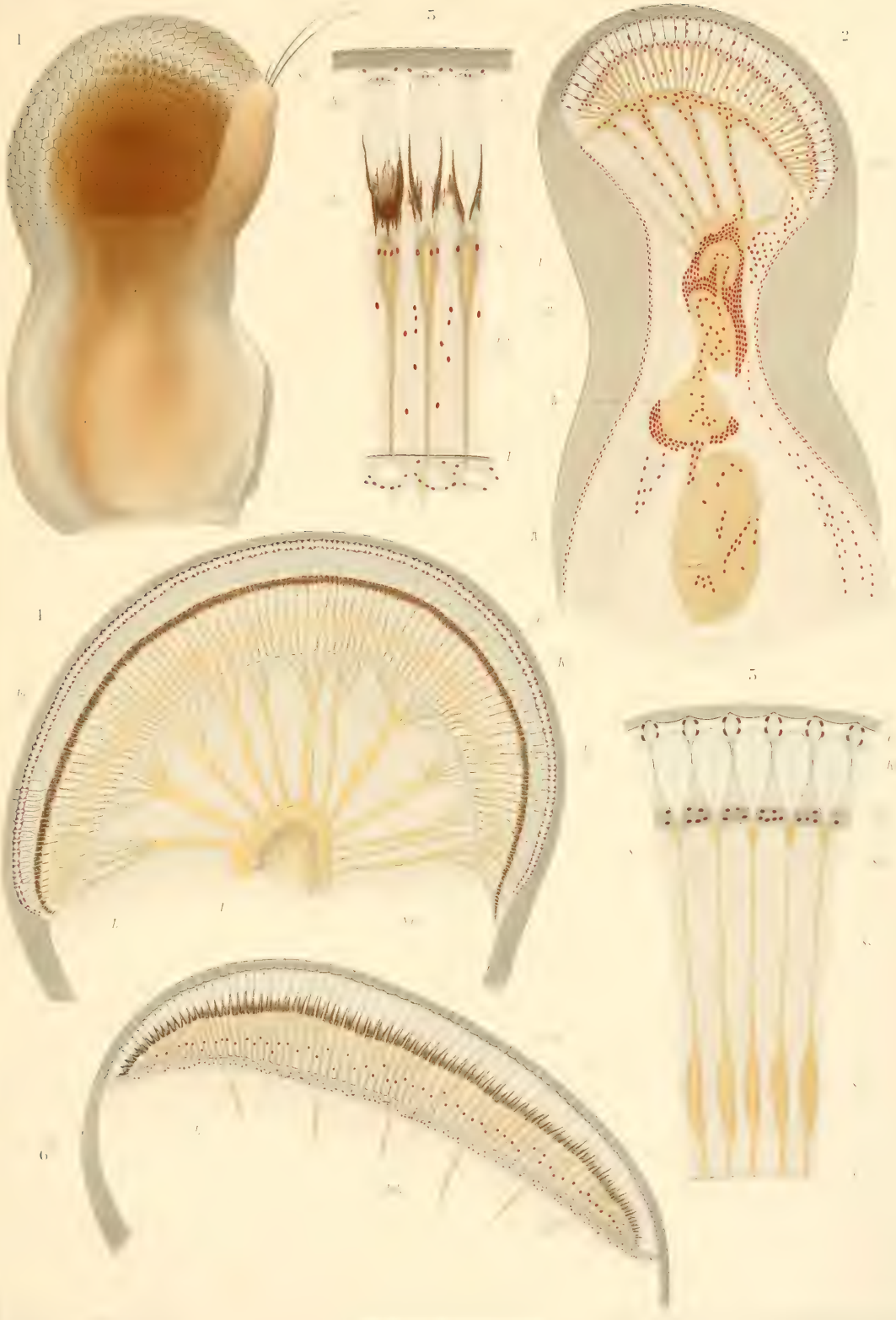

*1 u. 2. Scyramathia rivers-andersoni. — 4 u. 5. Fleistacantha moseleyi. — 3 u. 6. Geryon affinis.*

Tafel LVI.

# Tafel LVI.

Innere Antennen.

Fig. 1. *Homolodromia Bouvieri.* Ganze innere Antenne.

„ 2. *Homolodromia Bouvieri.* Aus verschiedenen Schnitten rekonstruierter Durchschnitt durch dieselbe.

„ 3. *Physachaeus cleuatus.* 3 Stielglieder der inneren Antenne.

„ 4. *Cyclodorippe uncifera glaucomma.* Totalbild des durchsichtig gemachten Objektes.

„ 5. *Cymonomus granulatus Valdiviae.* Totalbild des durchsichtig gemachten Objektes.

„ 6. *Cyrtomaia Suhmi platyceros.* Totalbild des durchsichtig gemachten Objektes. (Innere Antenne der rechten Seite.)

„ 6a. *Cyrtomaia Suhmi platyceros.* Abnorm gestaltete Endglieder der Außengeißel der inneren Antennen der linken Seite.

*Ag* Außengeißel
*Ig* Innengeißel
*Rh* Riechhaare
*Rn* Riechnerv
*M* Muskel
*Hb* Statocyste
*R* Geruchspindeln
*Tn* Terminalnerven
*Lo* Lobus osphradicus
*Lo'* Lobus osphradicus der Gegenseite

*1 u. 2. Homolodromia bouvieri. — 3. Physachaeus ctenurus. — 4. Cyclodorippe uncifera glaucomma. 5. Cymonomus granulatus. — 6 u. 6a. Cyrtomaia sukmi platyceros.*

Tafel LVII.

# Tafel LVII.

## Innere Antennen.

Fig. 1. *Platymaia Wyville-Thomsoni* MIERS. Innervierung der Riechhaare.
„ 2. *Homolodromia Bouvieri* DOF. Innervierung der Riechhaare.
„ 3. *Cyclodorippe uncifera glaucomma* (ALC.). Eintritt der Terminalnerven in die Außengeißel der inneren Antenne.

*Ag* Außengeißel
*Ig* Innengeißel
*Ign* Nerv der Innengeißel
*Lo* Lobus osphradicus
*Rh* Riechhaare
*Rn* Riechnerv
*Rn'* distaler Teil des Riechnerven
*Rp* Geruchspindeln
*Tan* Tasthaarnerv
*Tn* Terminalnerv
*III* 3. Stielglied

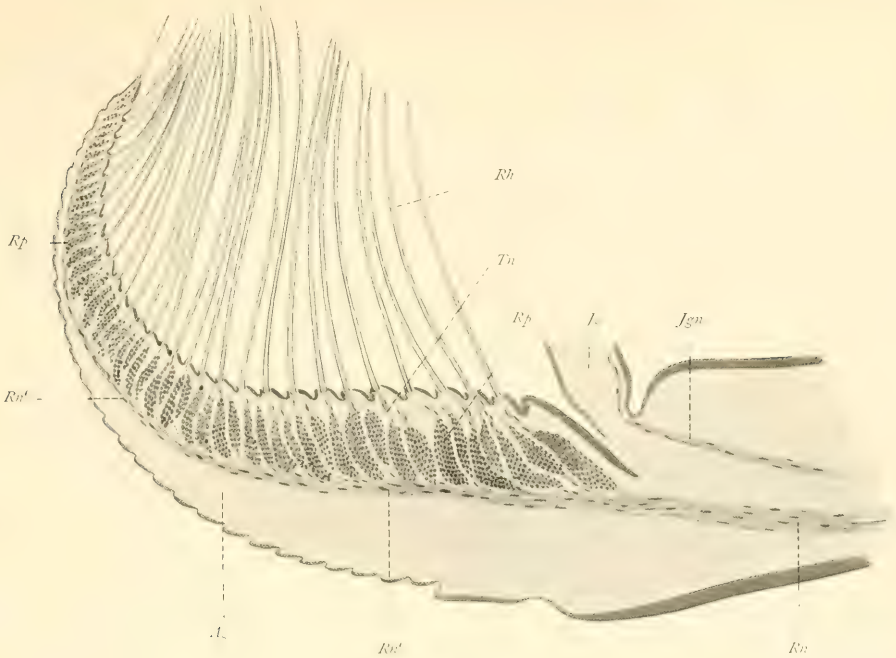


Fig. 1.

Fig. 3

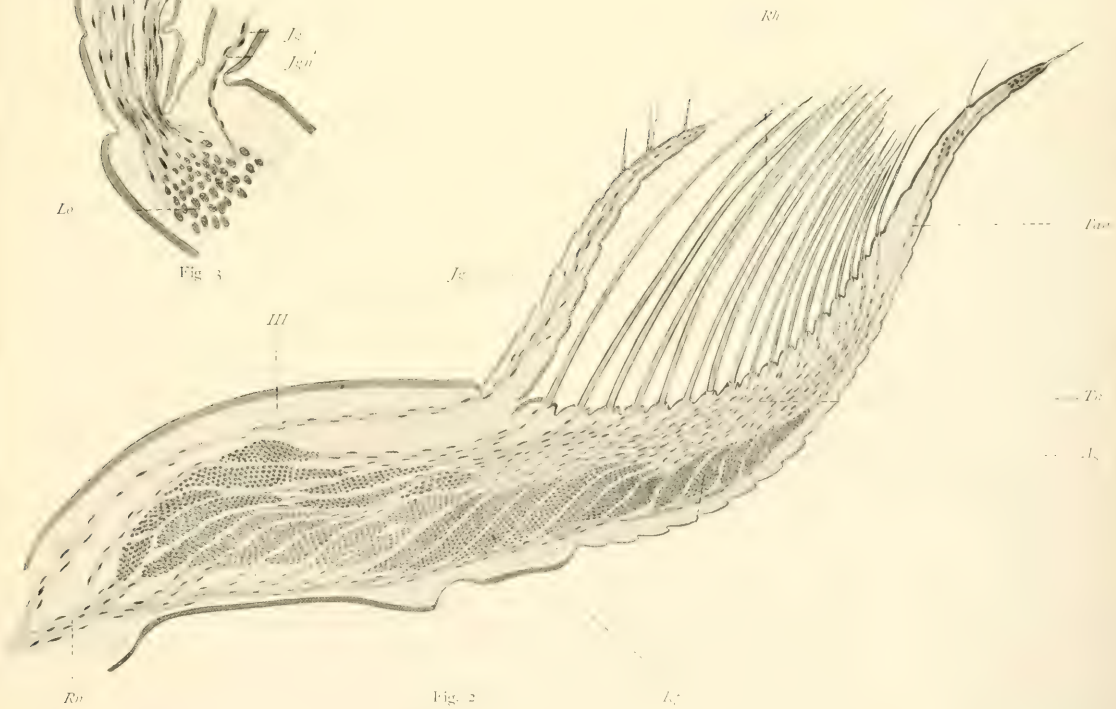


Fig. 2

*Gez. von Lorenz Müller-Mainz.*

*1. Platymaia Wyville-Thomsoni* MRS. — *2. Homolodromia Bouvieri* DOFL. — *3. Cyclodorippe uncifera glaucomma* (ALC.).

*Verlag von Gustav Fischer in Jena.*

Tafel LVIII.

# Tafel LVIII.

Innere Antennen.

Fig. 1. *Physachaeus ctenurus.* Anordnung der Riechspindeln.
„ 2*) *Geryon affinis.* Endteil der inneren Antenne.
„ 3*) Spitze eines Riechhaares.
„ 4*) Basalteil eines Riechhaares.

Bezeichnungen wie auf Tafel LVI u. LVII.

*) Auf S. 186 als Taf. LIX, Fig. 1—3 bezeichnet.

Fig. 1.

Fig. 3.

Fig. 4.

Fig. 2.

Gez. von Lorenz Müller-Mainz.

1. *Physachacus ctenurus* ALC. — 2—4. *Geryon affinis* M.-E. u. BOUV.

Verlag von Gustav Fischer in Jena.

SMITHSONIAN INSTITUTION THE LIBRARY

SMITHSONIAN INSTITUTION LIBRARIES
3 9088 00048 3727